

UNIVERSITATEA BABES – BOLYAI CLUJ - NAPOCA

FACULTATEA DE CHIMIE SI INGINERIE CHIMICA

# TEZA DE DOCTORAT

## (rezumat)

**CONDUCATOR STIINTIFIC**

**C.S.I Dr. Damian Axente**

**DOCTORAND**

**Felicia Vasut**

UNIVERSITATEA BABES – BOLYAI CLUJ - NAPOCA

FACULTATEA DE CHIMIE SI INGINERIE CHIMICA

# TEZA DE DOCTORAT

## (rezumat)

### **Stocarea tritiului prin absorbtie in metale si aliaje**

#### **Comisia de analiza si sustinere a tezei de doctorat**

Presedinte: Conf.Dr. Cornelia Majdik, Decan al Facultatii de Chimie si Inginerie Chimica, Univ. Babes-Bolyai Cluj-Napoca

Conducator stiintific: C.S.I Dr. Damian Axente, Institutul National de Cercetare-Dezvoltare pentru Tehnologii Izotopice si Moleculare Cluj Napoca

Referenti: Prof.Dr. Liana Muresan, Univ. Babes-Bolyai Cluj-Napoca, Facultatea de Chimie si Inginerie Chimica

Prof. Dr. Ioan Stefanescu, Institutul National de Cercetare-Dezvoltare pentru Tehnologii Criogenice si Izotopice ICSI Rm.Valcea

C.S.I Dr. Dan Lupu, Institutul National de Cercetare-Dezvoltare pentru Tehnologii Izotopice si Moleculare Cluj Napoca

## CUPRINS

1. INTRODUCERE
2. INTERACTIUNEA METAL-HIDROGEN
  - 2.1 Potentialul Lennard-Jones al interactiunii hidrogen-metal
  - 2.2 Mecanismul si cinetica procesului de absorbtie
  - 2.3 Izotermele presiune - compozitie
  - 2.4. Capacitatea de stocare pentru izotopii hidrogenului a metalelor si compusilor intermetalici
3. OBTINEREA HIDRURILOR METALICE; FACTORI CARE INFLUENTEaza PROCESUL DE HIDRURARE
  - 3.1 Sisteme metal – hidrogen
  - 3.2 Obtinerea hidrurilor metalice
  - 3.3 Factori care pot influenta reactia dintre metal si hidrogen
    - 3.3.1 Puritatea metalului
    - 3.3.2 Puritatea hidrogenului
    - 3.3.3 Schimbarea de volum si faramitarea; imbatranirea tritiurilor metalice
  - 3.4 Dispozitive utilizate la determinarea experimentală a caracteristicilor materialelor de stocare a izotopilor hidrogenului
  - 3.5 Stocarea tritiului sub forma de tritiu de uraniu
4. REALIZAREA STANDULUI EXPERIMENTAL PENTRU ABSORBTIA IZOTOPILOR HIDROGENULUI IN METALE SI COMPSU SI INTERMETALICI
  - 4.1 Standul experimental
  - 4.2 Metode de experimentare
5. STUDIU EXPERIMENTAL PRIVIND ABSORBTIA IZOTOPILOR HIDROGENULUI IN PROBE METALICE
  - 5.1 Absorbtia protiului si deuteriului pe materiale metalice
    - 5.1.1 Hidrurarea probelor de titan sub forma de pulbere si burete
      - 5.1.1.1 Determinarea proprietatilor de stocare pentru titanul burete
      - 5.1.1.1.1 Factori care influenteaza reactia de hidrurare a titanului burete; determinari experimentale
      - 5.1.1.1.2 Reactia de hidrurare (deuterare) a titanului burete
      - 5.1.1.2 Determinarea proprietatilor de stocare pentru titan pulbere
      - 5.1.1.2.1 Factori care influenteaza reactia de hidrurare a titanului pulbere; determinari experimentale
      - 5.1.1.2.2 Reactia de hidrurare (deuterare) a titanului pulbere
    - 5.1.2 Hidrurarea compusului intermetalic ZrCo
      - 5.1.2.1 Factori care influenteaza reactia de hidrurare a compusului intermetalic ZrCo; determinari experimentale
      - 5.1.2.2. Reactia de hidrurare (deuterare) a compusului intermetalic ZrCo
      - 5.1.3 Hidrurarea compusului intermetalic ZrNi
        - 5.1.3.1 Factori care influenteaza reactia de hidrurare a compusului intermetalic Zr<sub>50</sub>Ni<sub>50</sub>; (determinari experimentale)
        - 5.1.3.2 Reactia de hidrurare (deuterare) a compusului intermetalic Zr<sub>50</sub>Ni<sub>50</sub>
        - 5.1.3.3 Factori care influenteaza reactia de hidrurare a compusului intermetalic Zr<sub>70</sub>Ni<sub>30</sub>; (determinari experimentale)
        - 5.1.3.4 Reactia de hidrurare (deuterare) a compusului intermetalic Zr<sub>70</sub>Ni<sub>30</sub>
6. STOCAREA TRITIULUI IN MATERIALE METALICE
  - 6.1 Reactia dintre titan si amestecul hidrogen-tritium
    - 6.1.1 Absorbtia amestecului hidrogen-tritium in titan burete
    - 6.1.2 Absorbtia amestecului hidrogen-tritium in titan pulbere
  - 6.2. Reactia dintre compusul intermetalic ZrCo si amestecul hidrogen-tritium
  - 6.3 Reactia dintre compusul intermetalic ZrNi si amestecul hidrogen –tritium
    - 6.3.1 Absorbtia amestecului hidrogen - tritium in compusul intermetalic Zr<sub>50</sub>Ni<sub>50</sub>
    - 6.3.2 Absorbtia amestecului hidrogen - tritium in compusul intermetalic Zr<sub>70</sub>Ni<sub>30</sub>
7. CONCLUZII  
BIBLIOGRAFIE

Cuvinte cheie: izotopii hidrogenului, tritium, stocare, izoterme

## 1. INTRODUCERE

Tritiul ( ${}^3\text{H}$  sau T) este singurul izotop radioactiv al hidrogenului, ceilalți doi izotopi ai hidrogenului - protiul ( ${}^1\text{H}$ ) și deuteriul ( ${}^2\text{H}$  sau D) fiind stabili, [1]. Nucleul tritiului conține un proton și doi neutroni iar masa atomică este 3,016049. Are timpul de injumătărire de 12,26 ani. În natură, tritiul se regăsește în cantități mici, ca urmare a acțiunii reacțiilor radiatiilor cosmice asupra gazelor din stratosferă, cantitatea estimată la nivel planetar fiind de 7,3 kg. De asemenea, tritiul rezultă ca produs secundar în urma testarilor armelor nucleare sau în reactorii nucleari, [1,2].

Prin dezintegrare tritiul emite radiații  $\beta$  de joasă energie, astfel:



Distanța maximă pe care particula  $\beta$  o poate străbate în aer este de 4,5 – 6 mm, [3-5].

Prezența tritiului în apă grea utilizată în reactorii nucleari de tip CANDU, reprezintă o sursă majoră de radiații pentru personalul de operare și de contaminare radioactivă a instalațiilor [2,6,7]. Pentru a elimina aceste efecte negative, la nivel mondial, s-a cercetat posibilitatea realizării unor instalații pentru extragerea tritiului din apă grea tritiată. La I.C.S.I. Râmnicu Valcea s-a realizat o instalație pilot experimentală pentru separarea tritiului din apă grea tritiată. Cercetările efectuate pe această instalație se vor concretiza prin elaborarea tehnologiei și realizarea instalației de detritiere a apei grele de la CNE Cernavoda.

O problema de mare importanță, care apare la procesarea apei grele tritiate în instalațiile de detritiere, o reprezintă stocarea tritiului obținut, în condiții de siguranță pentru mediu și personal, [3,6,7]. Materialele utilizate la stocare trebuie să aibă capacitatea de a "lega" puternic tritiul, la o temperatură și presiune normală de stocare, tritiura să fie usor de obținut și să permită, dacă este necesar, recuperarea tritiului. În acest sens, sunt necesare următoarele elemente esențiale pentru stocarea tritiului: alegerea celui mai potrivit material pentru operația de stocare propriu-zisă, proiectarea și realizarea stocatorului, [4,8]. O mare parte din datele experimentale necesare pot fi obținute utilizând izotopii stabili ai hidrogenului (protiu sau deuteriu) fără a fi nevoie de experimentare cu tritiu, [5,9].

Metalele și compusii intermetalici sunt materiale avantajoase pentru stocarea izotopilor hidrogenului sub formă de hidruri metalice și apoi pentru eliberarea acestora, din următoarele motive [15,16]:

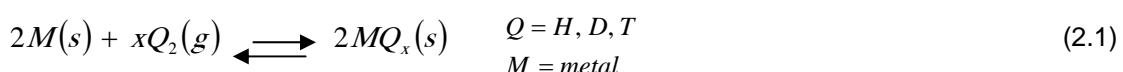
- au o capacitate mare de stocare;
- gazul eliberat prin încalzirea hidrurii este pur;
- transportul și manipularea gazului se face în condiții de siguranță.

Compusii intermetalici sunt definiti ca faze solide, formate din două sau mai multe elemente metalice, și optional, unul sau mai multe elemente nemetalice, a căror structură cristalină difera de cea a elementelor constitutive.

Reacția de formare a hidrurii metalice este exoterma și de obicei spontană la temperatura camerei, mai ales când metalul este fin divizat. Deoarece reacția are caracter reversibil, hidrogenul imobilizat sub formă de hidrură solidă poate fi recuperat, prin încalzirea hidrurii la temperatura caracteristică fiecarui material, [11-15].

## 2. INTERACȚIUNEA METAL-HIDROGEN

Reacția de formare a hidrurilor metalice este, [11-15]:



Hidrurile de interes pentru stocarea tritiului sunt cele care se obtin in urma unui proces exoterm. Prin cresterea presiunii de echilibru a hidrogenului aflat in contact cu metalul se formeaza hidruri metalice. Procesul este reversibil, [13-15,17].

### 3. OBTINEREA HIDRURIILOR METALICE; FACTORI CARE INFLUENTEaza PROCESUL DE HIDRURARE

#### 3.1 Sisteme metal - hidrogen

In functie de tipul de legatura metal-hidrogen, hidrurile metalice se impart in trei mari categorii

- hidruri ionice,
- hidrurilor metalice
- hidruri covalente.

### 4. REALIZAREA STANDULUI EXPERIMENTAL PENTRU ABSORBTIA IZOTOPILOR HIDROGENULUI IN METALE SI COMPUSI INTERMETALICI

#### 4.1 Standul experimental

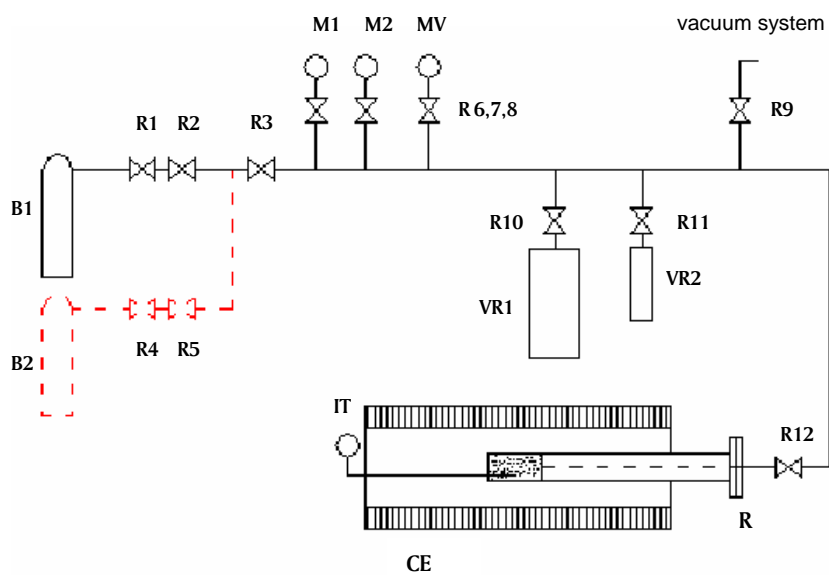


Fig. 4.1 Standul experimental pentru absorbtia izotopilor hidrogenului  
 R1- R12 - robineti; B1 - butelie hidrogen; B2 - butelie amestecuri izotopice; M1, M2 - manometre; MV - manovacuumetru; IT – indicator temperatura;  
 CE - captor electric; VR1, VR2 - vase de referinta  
 R - reactor

#### 4.2 Metode de experimentare

Metoda de experimentare propriu-zisa cuprinde trei etape distincte, dupa cum urmeaza:

Activarea probei Activarea materialului metalic se realizeaza prin incalzirea in vid ( $10^{-3}$  torr).

Temperatura de activare este situata in domeniul  $200-700^{\circ}\text{C}$  si se mentine constanta o anumita perioada de timp, in functie de proba si de conditiile experimentale dorite.

Racirea probei. Temperatura de initiere a reactiei de absorbtie difera in functie de proba luata in lucru, dar in general, este temperatura ambianta ( $20-25^{\circ}\text{C}$ ). Racirea reactorului de la temperatura de

activare pana la cea de initiere a reactiei poate fi realizata nefortat, odata cu racirea cupitorului sau cu jet de aer suflat pe exteriorul reactorului in care este introdusa proba.

Absorbtia. Procedura de obtinere a hidrurilor depinde de natura hidrurii, de componitia dorita si de forma finala a acesteia, [8]. Hidrogenul uscat se introduce la presiunea dorita, in incinta vasului de referinta cu volum cunoscut apoi peste proba metalica aflata in reactor.

Desorbtia. Se realizeaza in vid, prin incalzirea in functie de cerinte, a probelor metalice hidrurate. Procesul are loc in sens invers procesului de absorbtie.

## **5. STUDIU EXPERIMENTAL PRIVIND ABSORBTIA IZOTOPILOR HIDROGENULUI IN PROBE METALICE**

Pentru realizarea experimentelor de absorbtie a izotopilor hidrogenului am ales materialele care au capacitatea ridicata de stocare.

### **5.1 Absorbtia protiului si deuteriului in probe metalice**

Pregatirea suprafetei metalului prin indepartarea straturilor de impuritati si pentru obtinerea unei o suprafete metalice curate pentru procesul de absorbtie este importanta deoarece materialul metalic expus la aer este acoperit in general cu un strat de compusi care se formeaza in mod natural pe suprafata curata. Activarea produce evacuarea speciilor adsorbite sau dizolvarea oxigenului in volumul materialului si reconstructia unei suprafete reactive, [55-56].

Factorii care ar putea influenta procesul de absorbtie si care au fost investigati experimental sunt: temperatura de activare a probei metalice, timpul necesar activarii, presiunea initiala a hidrogenului, etc [93,96,99,100].

#### **5.1.1 Hidrurarea probelor de titan sub forma de pulbere si burete**

Reactia de hidrurare a titanului este o reactie spontana la temperatura camerei, [106]:



##### **5.1.1.1 Determinarea proprietatilor de stocare pentru titanul burete**

Titanul burete utilizat este sub forma de granule de culoare gri cu dimensiunile cuprinse in domeniul 2-12mm. La experimentari am utilizat hidrogen de puritate 99,999% respectiv amestec de deuteriu (5%) in hidrogen.

##### **5.1.1.1 Factori care influenteaza reactia de hidrurare a titanului burete; determinari experimentale**

Unul dintre factorii semnificativi care pot influenta reactia de tritiere a titanului pulbere este temperatura de activare insuficient de mare.

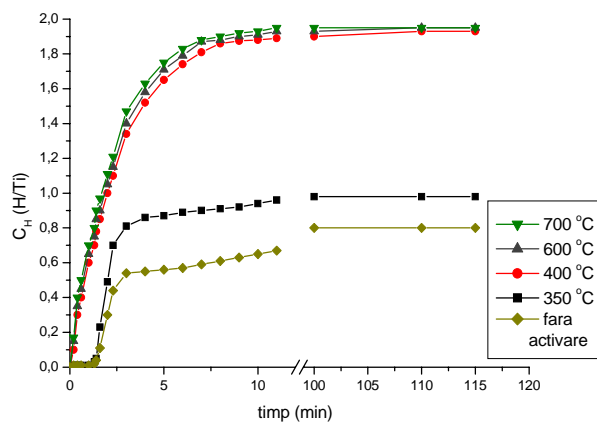


Fig. 5.2 Efectul temperaturii de activare asupra reactiei de hidrurare a titanului burete

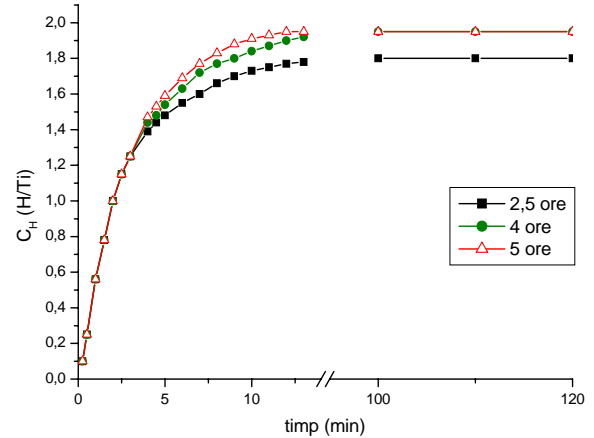


Fig. 5.3 Efectul timpului de activare asupra reactiei de hidrurare a titanului burete

O temperatura mai mare de  $400^{\circ}\text{C}$  este suficienta pentru a dizolva stratul de compusi de la suprafata titanului burete.

Un alt factor care poate influenta negativ reactia de hidrurare este timpul acordat procesului de activare. Un timp prea scurt de mentinere a probei in vid, la temperatura inalta, ar putea duce la activarea incompleta a probei, capacitatea de stocare a materialului metalic fiind mult diminuata.

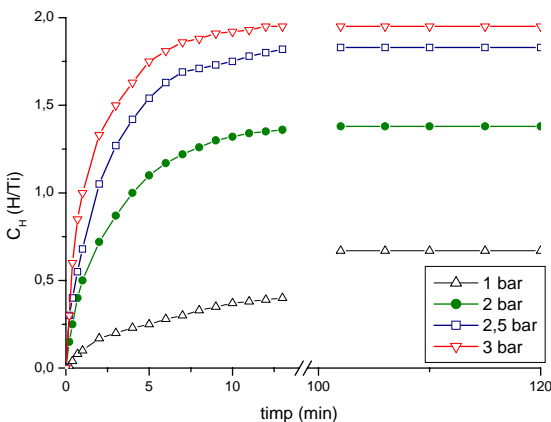


Fig. 5.4 Dependența concentrației hidrogenului în titan burete, de presiunea initială a hidrogenului

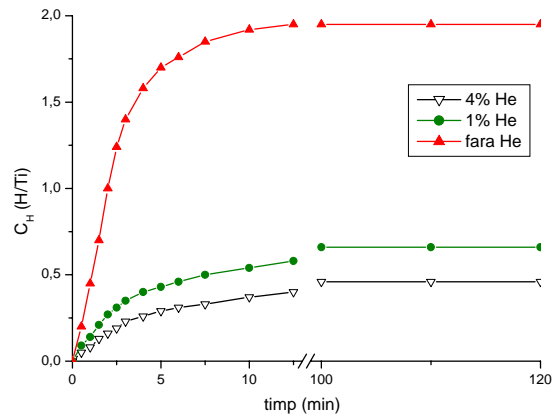


Fig. 5.5 Influenta continutului de heliu din amestecul initial de hidrogen, asupra reactiei de hidrurare a titanului burete

Dependența capacității de hidrurare a titanului burete de presiunea initială a hidrogenului introdus în reactor, este prezentată în figura 5.4. O presiune initială mare în reactorul de stocare duce la creșterea numărului de moli de hidrogen absorbit în metal, într-un interval de timp stabilit.

Pentru a simula prezența tritiului, în gazul utilizat la absorbtie s-au introdus diferite cantități de heliu. O concentrație crescută de heliu în gazul utilizat la absorbtie, influențează negativ capacitatea de reținere a hidrogenului în metal.

Se observă că indiferent de numărul de cicluri absorbtie/desorbtie, capacitatea de stocare a titanului burete, exprimată ca raport atomic a fost de  $1,95 \pm 0,03$  și a rămas constantă.

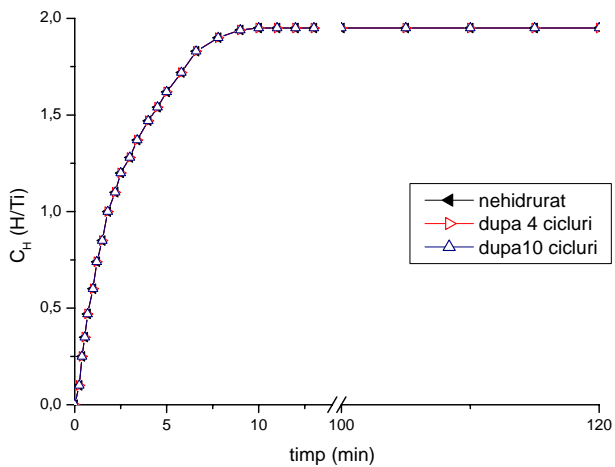


Fig. 5.6 Influenta ciclurilor de absorbtie/desorbtie asupra capacitatii de stocare a titanului burete

#### 5.1.1.2 Determinarea proprietatilor de stocare pentru titanul pulbere

Datorita capacitatii mari de stocare a titanului, atat forma burete cat si forma pulbere pot fi utilizate la stocarea tritiului, [103].

##### 5.1.1.2.1 Factori care influenteaza reactia de hidrurare a titanului pulbere; determinari experimentale

Temperatura de activare. Din figura 5.12 se observa ca este necesara o temperatura de cel putin  $400^{\circ}\text{C}$  pentru a se obtine o concentratii mari de hidrogen in metal.

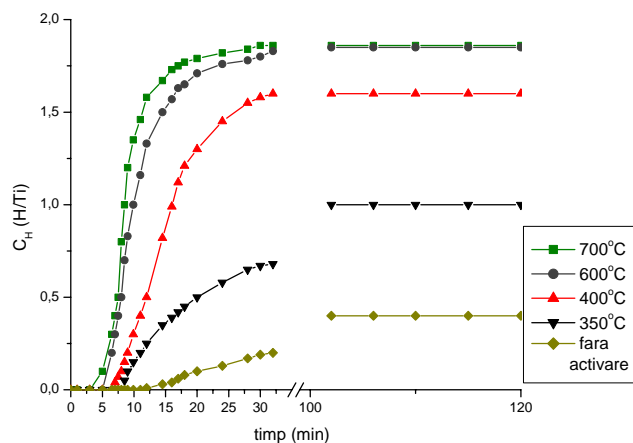


Fig. 5.12 Efectul temperaturii de activare asupra reactiei de hidrurare a titanului pulbere

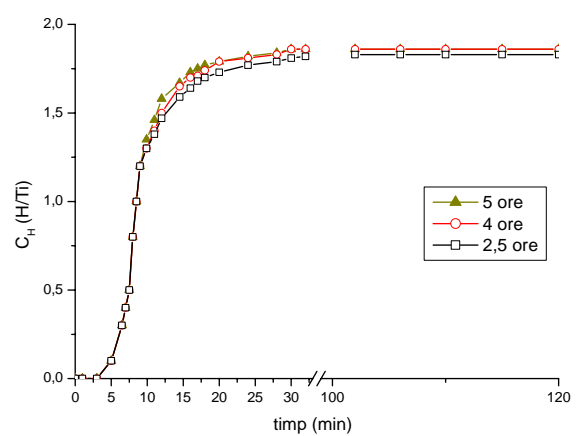


Fig. 5.13 Efectul timpului de activare asupra reactiei de hidrurare a titanului pulbere

Efectul timpului de activare a probei de titan pulbere asupra procesului de absorbtie este prezentat in figura 5.13.

In figura 5.14 este prezentata evolutia raportului H/Ti in timp, in functie de presiunea hidrogenului introdus initial in reactor.

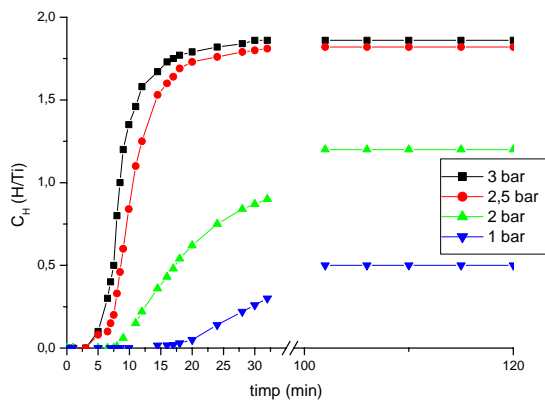


Fig. 5.14 Dependența concentratiei hidrogenului în titanul pulbere de presiunea initială a hidrogenului

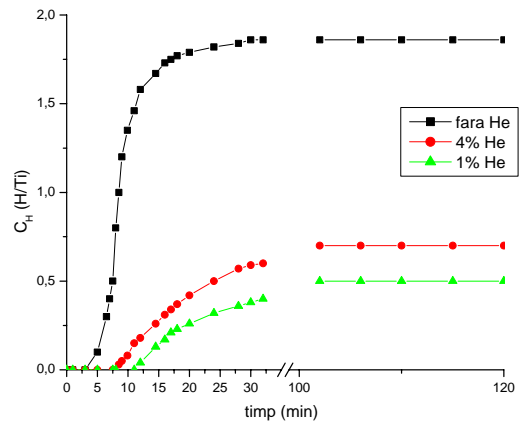


Fig. 5.15 Influenta continutului de heliu din amestecul initial de hidrogen, asupra reacției de hidrurare a titanului pulbere

He liul introdus în hidrogen influențează negativ raportul final H/Ti pulbere, astfel cum se observă din figura 5.15.

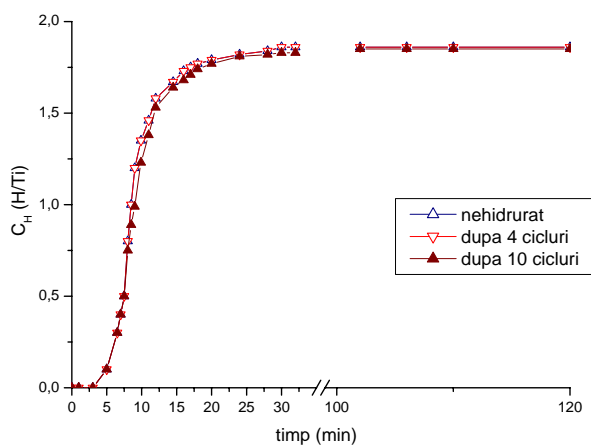


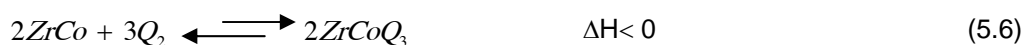
Fig. 5.16 Influenta ciclurilor de absorbtie/desorbtie asupra capacitatii de stocare a titanului pulbere

Din figura 5.16, unde se prezintă influenta ciclurilor de absorbtie/desorbtie asupra capacitatii de stocare, se observă că titanul pulbere prezintă o usoară scădere a capacitatii de stocare, spre deosebire de forma buretei.

### 5.1.2 Hidrurarea compusului intermetallic ZrCo

ZrCo de puritate 98,5% utilizat la experimentari, a fost furnizat de Institutul National de Cercetare-Dezvoltare pentru Inginerie Electrica INCDIE ICPE-CA Bucuresti.

Dacă suprafața metalică este curată, reacția dintre ZrCo și hidrogen este spontană la temperatură camerei și are loc astfel [116]:



unde Q = H,D,T

Un dezavantaj al compusului intermetalic ZrCo este tendinta sa de disproportionare, daca acesta este utilizat la procese succesive de absorbtie/desorbtie. Disproportionarea sa poate avea loc conform reactiei, [53,117]:



Hidrura de zirconiu formata la disproportionare este mult mai stabila decat hidrura formata de compusul intermetalic ZrCo, necesitand temperaturi ridicate pentru desorbtia completa a hidrogenului retinut, [80,117,118].

### 5.1.2.1 Factori care influenteaza reactia de hidrurare a compusului intermetalic ZrCo; determinari experimentale

Se observa ca la utilizarea unei temperaturi de activare mai mici de 300°C, concentratia hidrogenului retinut sub forma de hidrura metalica este foarte scazuta, procesul de hidrurare decurgand lent.

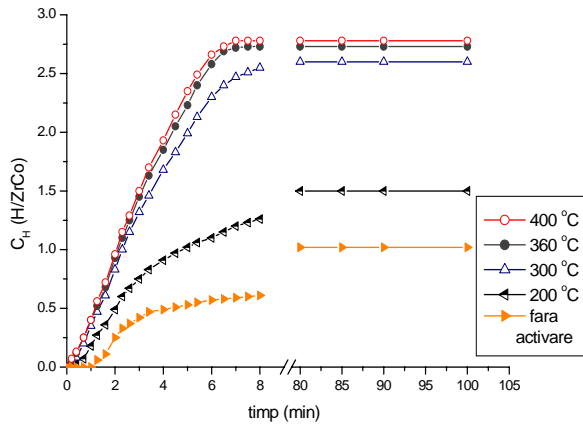


Fig. 5.21 Efectul temperaturii de activare asupra reactiei de hidrurare a compusului intermetalic ZrCo

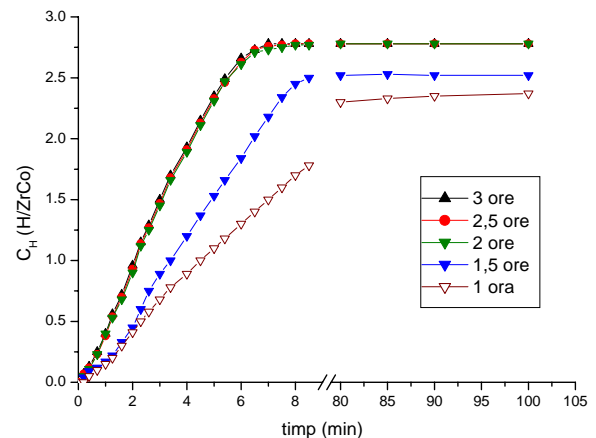


Fig. 5.22 Efectul timpului de activare asupra reactiei de hidrurare a compusului intermetalic ZrCo

Pentru determinarea experimentală a influenței pe care o are timpul de activare se observă ca activarea la 400°C timp de cel puțin 2 ore este suficientă pentru obținerea capacității maxime de stocare a compusului intermetalic ZrCo, după acest interval de timp, impuritățile de pe suprafața metalică fiind îndepărtate.

In figura 5.23 este prezentat efectul pe care il produce presiunea initială a hidrogenului asupra capacității de stocare a compusului intermetalic ZrCo, se observă ca o presiune scăzută de hidrogen duce la obținerea unui raport atomic H/ZrCo scăzut.

Din figura 5.24. se observă ca o concentrație scăzută de heliu în gazul de experimentare, are efecte negative asupra capacității de stocare a compusului intermetalic, heliul formând o anvelopă pe suprafața metalică, nepermittând hidrogenului să se absoarba în ZrCo.

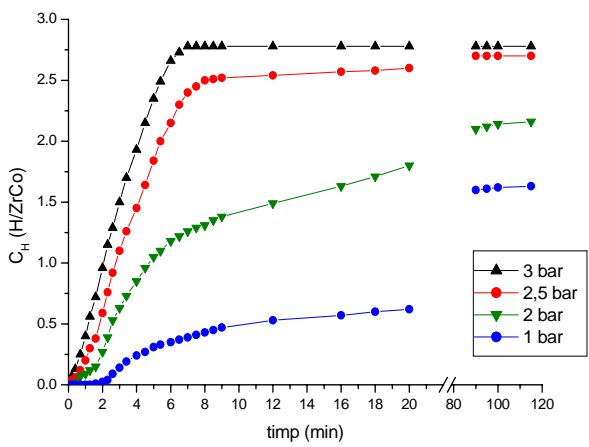


Fig. 5.23 Dependența concentratiei de hidrogen din ZrCo de presiunea initială de hidrogen

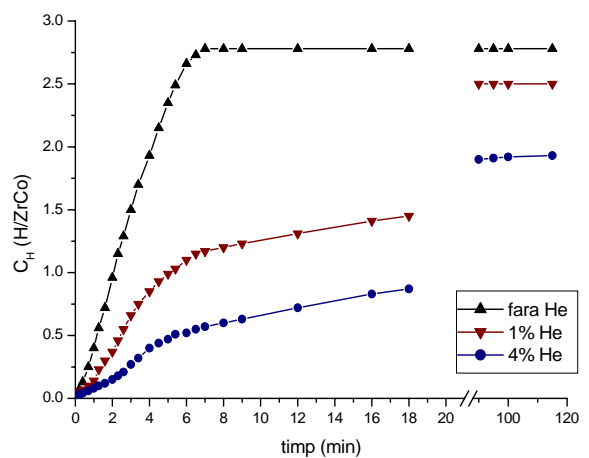


Fig. 5.24 Influenta continutului de heliu din amestecul initial de hidrogen, asupra reactiei de hidrurare a ZrCo

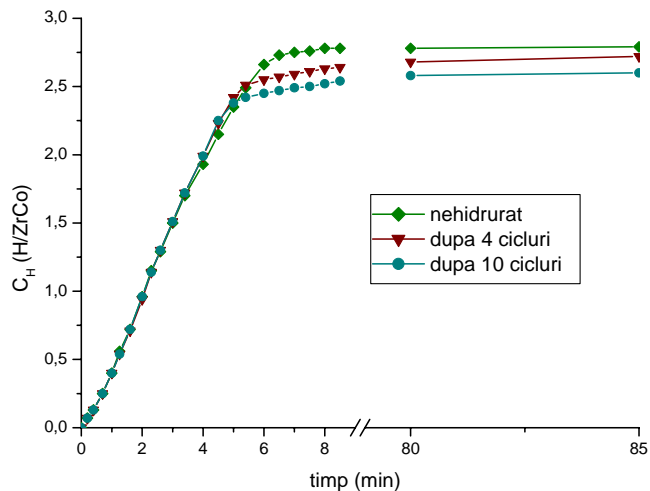


Fig. 5.25 Influenta ciclurilor absorbtie/desorbtie asupra capacitatiiei de stocare a ZrCo

Influenta numarului de cicluri de absorbtie/desorbtie asupra procesului de hidrurare este prezentata in figura 5.25. Se observa ca dupa mai multe cicluri de absorbtie/desorbtie, cantitatea de hidrogen care se retine in metal scade.

### 5.1.3 Hidrurarea compusului intermetallic ZrNi

La experimentari am utilizat compusul intermetallic ZrNi preparat INCDIE ICPE-CA Bucuresti. Probele metalice utilizate la absorbtia izotopilor hidrogenului sunt sub forma de pulbere.

Reactia dintre compusul intermetallic si hidrogen are loc conform ecuatiei, [119]:



unde Q = H,D,T

Stocarea hidrogenului pe ZrNi este de interes deoarece reactia este spontana la temperatura ambianta si nu necesita temperaturi ridicate pentru recuperarea hidrogenului stocat, [121].

Ca si in cazul compusului intermetalic ZrCo, hidrura formata de ZrNi disproportionateaza la temperaturi ridicate.

Compusul intermetalic ZrNi utilizat la experimente fost preparat in doua componzitii, 50% Zr 50% Ni (notat  $Zr_{50}Ni_{50}$ ) respectiv Zr 70% Ni 30% (notat  $Zr_{70}Ni_{30}$ ), procente de masa.

### 5.1.3.1 Factori care influenteaza reactia de hidrurare a compusului intermetalic $Zr_{50}Ni_{50}$ ; (determinari experimentale)

Pentru determinarea influentei pe care o are temperatura de activare asupra reactiei de absorbtie a hidrogenului, compusul intermetalic a fost activat in vid, la temperaturi, cuprinse in domeniul  $200 - 400^{\circ}C$ , figura 5.30. Din aceste experimente rezulta ca o temperatura de activare mai scazuta sau utilizarea probei fara a fi activata prin tratament termic, duc la obtinerea unor concentratii de hidrogen in compusul intermetalic mult scazute fata de raportul maxim stoechiometric ce s-ar putea obtine ( $H/ZrNi = 3$ ).

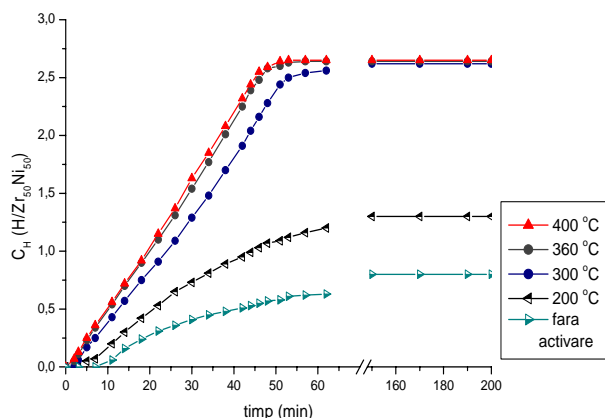


Fig. 5.31 Efectul temperaturii de activare asupra reactiei de hidrurare a compusului intermetalic  $Zr_{50}Ni_{50}$

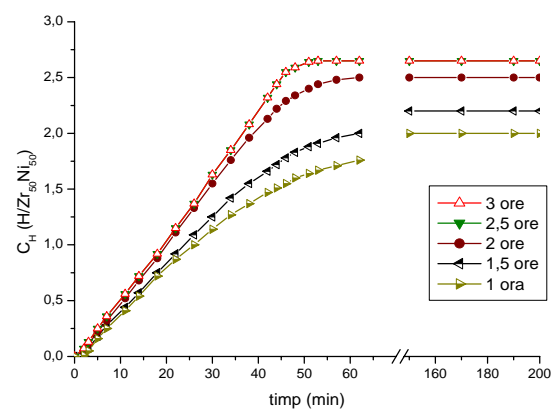


Fig. 5.32 Efectul timpului de activare asupra reactiei de hidrurare a compusului intermetalic  $Zr_{50}Ni_{50}$

Influenta timpului de activare asupra reactiei dintre hidrogen si compusul intermetalic  $Zr_{50}Ni_{50}$  este prezentata in figura 5.32. Se observa ca incalzirea aliajului timp de cel putin 2,5 ore la temperatura inalta, este suficient pentru a se obtine concentratia de  $2,65 \pm 0,03$  H/  $Zr_{50}Ni_{50}$ .

Influenta presiunii initiale asupra concentratiei hidrogenului stocat in compusul intermetalic  $Zr_{50}Ni_{50}$  este prezentata in figura 5.33. Cu cat presiunea initiala este mai mare, cu atat concentratia hidrogenului retinut in masa metalica este mai mare, intr-un interval definit de timp.

Prezenta heliului in gazul utilizat are un efect negativ asupra reactiei de absorbtie a hidrogenului in compusul intermetalic. In figura 5.34 se prezinta efectul pe care il produce heliul asupra concentratiei hidrogenului retinut in masa pulberii metalice.

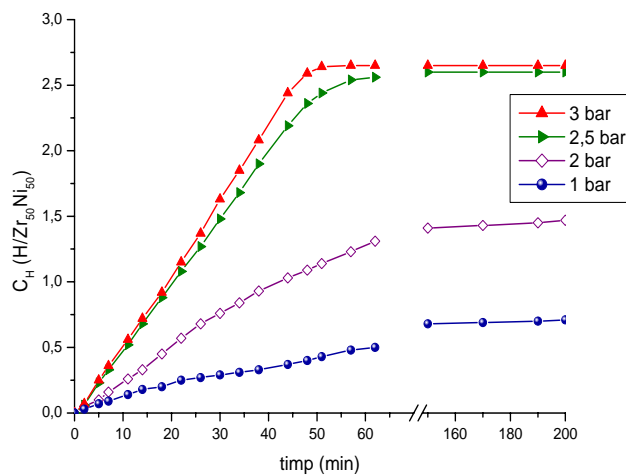


Fig. 5.33 Dependența concentrației hidrogenului absorbit în  $Zr_{50}Ni_{50}$ , de presiunea initială a hidrogenului

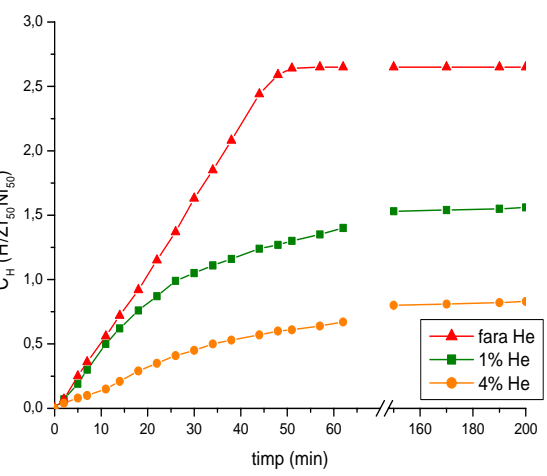


Fig. 5.34 Influența continutului de heliu din hidrogen, asupra reacției de hidrurare a  $Zr_{50}Ni_{50}$

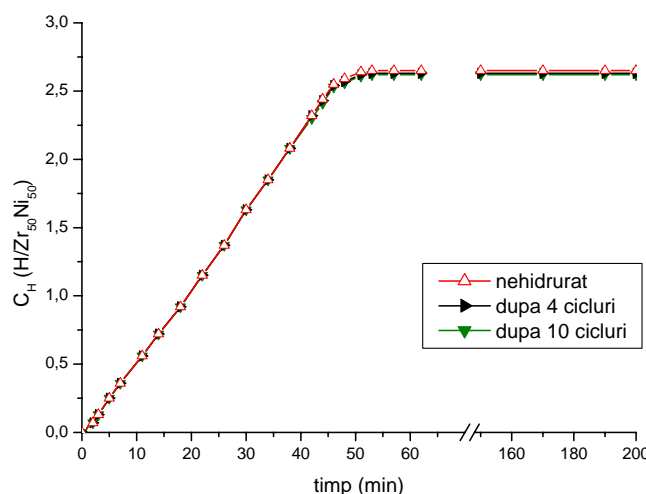


Fig. 5.35 Influența ciclurilor absorbtie/desorbtie asupra capacitatii de stocare a  $Zr_{50}Ni_{50}$

Numarul de cicluri de absorbtie/desorbtie nu afectează capacitatea de stocare, după 10 cicluri, capacitatea de absorbtie este constantă, raportul maxim  $H/Zr_{50}Ni_{50}$  de  $2,65 \pm 0,03$  fiind pastrat.

### 5.1.3.3 Factori care influentează reacția de hidrurare a compusului intermetalic $Zr_{70}Ni_{30}$ ; (determinări experimentale)

Temperatura la care se face activarea probelor metalice are influență asupra reacției de absorbtie a hidrogenului, astă cum rezulta din figura 5.39.

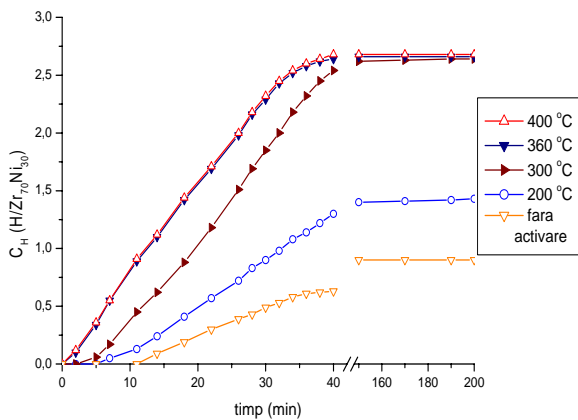


Fig. 5.39 Efectul temperaturii de activare asupra reactiei de hidrurare a compusului intermetallic  $Zr_{70}Ni_{30}$

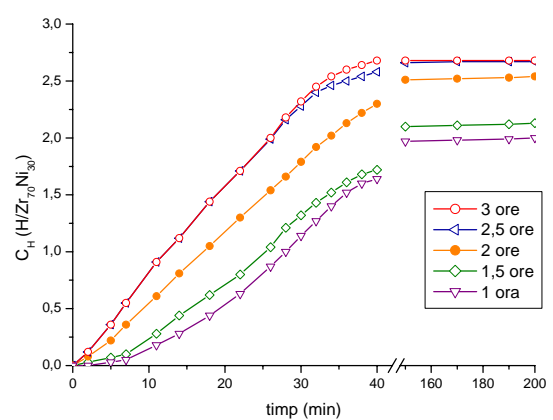


Fig. 5.40 Efectul timpului de activare asupra reactiei de hidrurare a compusului intermetallic  $Zr_{70}Ni_{30}$

Timpului de activare este unul dintre factorii importanți care are influența asupra procesului de hidrurare a compusului intermetallic  $Zr_{70}Ni_{30}$ . Dacă proba metalică a fost activată timp de cel puțin 2,5 ore, concentrația hidrogenului este de  $2,68 \pm 0,03$  H/ $Zr_{70}Ni_{30}$ .

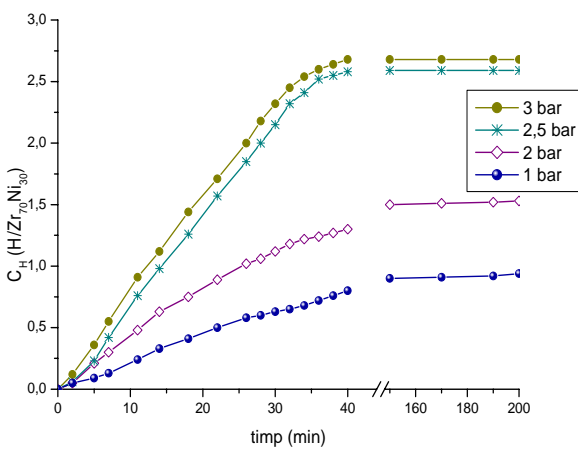


Fig. 5.41 Dependența concentratiei hidrogenului absorbit în  $Zr_{70}Ni_{30}$ , de presiunea initială a hidrogenului

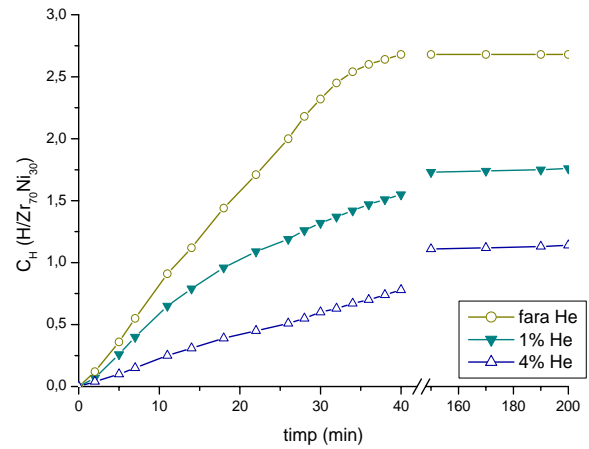


Fig. 5.42 Influența continutului de heliu din hidrogen, asupra reactiei de hidrurare a  $Zr_{70}Ni_{30}$

Pentru a determina care este influența presiunii initiale asupra concentratiei hidrogenului stocat în compusul intermetallic  $Zr_{70}Ni_{30}$ , presiunea a fost cuprinsă în intervalul 1-3 bar, figura 5.41. Rezulta că pentru obținerea unor concentratii mari ale hidrogenului în pulberea metalica într-un interval scurt de timp, presiunea hidrogenului este indicat să fie ridicată.

Figura 5.42 prezintă efectul pe care îl produce heliul asupra reactiei de hidrurare a compusului intermetallic  $Zr_{70}Ni_{30}$ . Rezulta că heliul în hidrogen influențează negativ procesul de absorbtie, rapoartele atomice H/ $Zr_{70}Ni_{30}$  obținute fiind mult mai mici fata de raportul obținut cu hidrogen ultrapur.

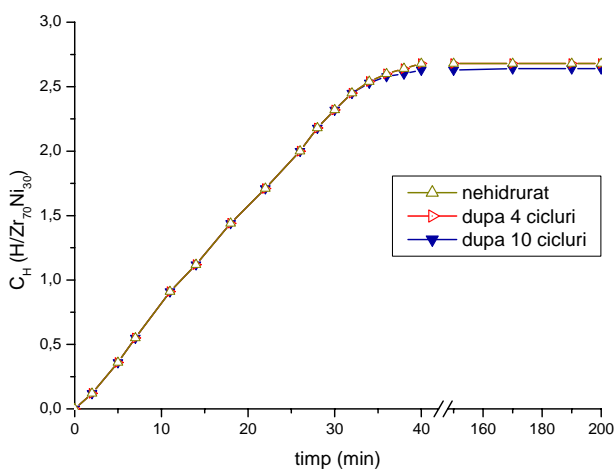


Fig. 5.43 Influenta ciclurilor absorbtie/desorbtie asupra capacitatii de stocare a  $Zr_{70}Ni_{30}$

Capacitatea de stocare a compusului intermetalic poate fi influentata de numarul de cicluri de absorbtie/desorbtie, datorita disproportionarii sale, la temperatura de desorbtie. Se observa ca dupa 10 cicluri, capacitatea de absorbtie nu scade semnificativ.

## 6. STOCAREA TRITIULUI IN MATERIALE METALICE

Experimentele s-au realizat in cadrul Institutului National de Cercetare - Dezvoltare pentru Tehnologii Criogenice si Izotopice ICSI Rm. Valcea, utilizandu-se un amestec de hidrogen-tritium. Proprietatile microstructurale ale probelor metalice inainte si dupa procesul de absorbtie a amestecului hidrogen-tritium au fost investigate prin difractie de raze X.

### 6.1 Reactia dintre titan si amestecul hidrogen-tritiu

Analizand datele obtinute la stocarea hidrogenului, atat in titan pulbere cat si in titan burete, se observa ca forma burete absoarbe o cantitate mai mare de gaz, putandu-se obtinane un raport H/Ti apropiat de 2, in conformitate cu stoechiometria reactiei.

#### 6.1.1 Absorbtia amestecului hidrogen-tritiu in titan burete

Activarea titanului burete s-a realizat in vid, la o temperatura de  $600^{\circ}C$  timp de 5 ore. Proba a fost racita pana la temperatura de  $25^{\circ}C$  apoi a fost supusa procesului de absorbtie.

Evolutia concentratiei hidrogenului in masa metalica, exprimata ca raport atomic (H+T)/Ti, in timpul reactiei de absorbtie in titan burete este prezentata in figura 6.2. La analiza cantitativa, structura cristalina a buretelui metalic este  $Ti-\alpha$  in proportie de 100%, aceasta prezentand structura hexagonală compacta. Proba metalica a fost hidrurata complet, structura cristalina a hidrurii metalice fiind cubica cu volum central.

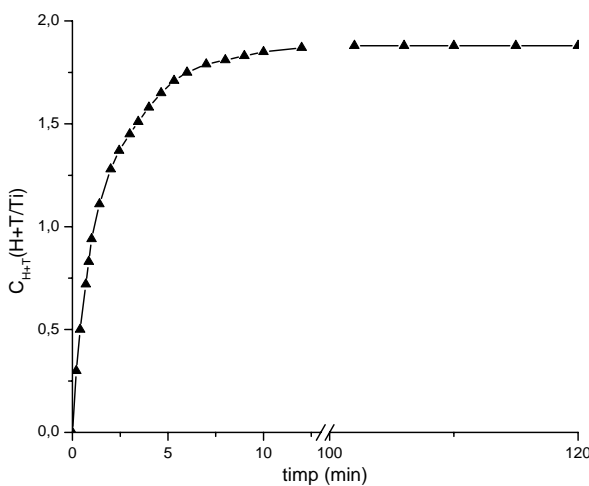


Fig. 6.2 Variatia raportului atomic  $(H+T)/Ti$  in timp la absorbtia amestecului hidrogen-tritiu in titan burete

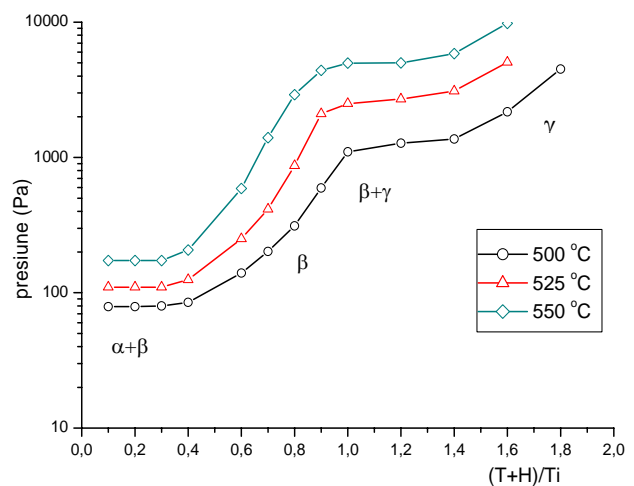


Fig. 6.5 Izotermele presiune-compozitie la absorbtia amestecului hidrogen-tritiu in titan burete

Prin reprezentarea grafica a logaritmului presiunii in functie de inversul temperaturii se obtin doua drepte, corespunzatoare celor doua paliere orizontale ale izotermelor presiune-compozitie, figura 6.6.

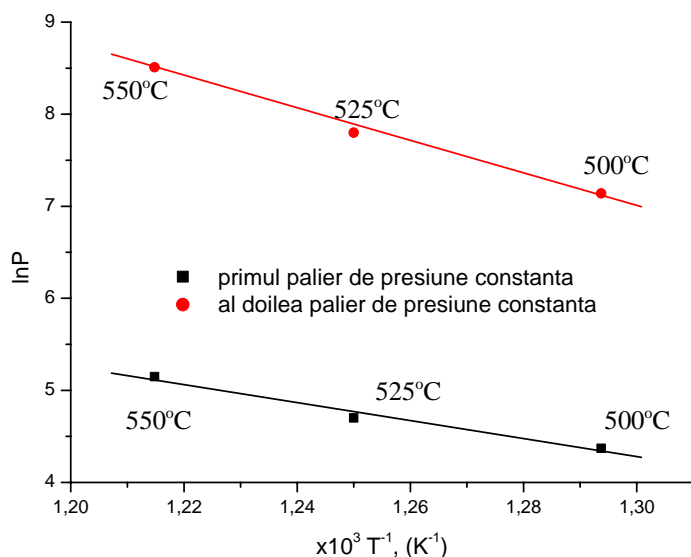


Fig. 6.6 Graficul van't Hoff pentru absorbtia amestecului hidrogen-tritiu in titan burete

Tabel 6.1 Parametrii termodinamici pentru absorbtia amestecului hidrogen-tritiu in titan burete

	$\Delta H^\circ$ (kJ/mol)		$\Delta S^\circ$ (J/mol·K)		Fazele prezente in echilibru
	Date proprii	[127]	Date proprii	[127]	
Primul palier	- 97,7	-101,5	- 161,5	-165,3	$\alpha+\beta$
Al doilea palier	- 173,6	-179,6	- 281,6	-290,3	$\beta+\gamma$

Valorile parametrilor care au fost obtinute din datele experimentale, sunt in concordanță cu valorile prezentate in literatura de specialitate, [127].

### 6.1.2 Absorbtia amestecului hidrogen-tritiu in titan pulbere

Determinarile de absorbtie cu amestec hidrogen-tritiu au fost realizate in aceleasi conditii ca in cazul titanului burete, probele fiind activate inainte de absorbtie prin vidare la temperatura inalta, timp de 5 ore.

In figura 6.8 este prezentata evolutia raportului atomic  $(H+T)/Ti$  pulbere in timp, pe parcursul reactiei de absorbtie a amestecului hidrogen-tritiu. Valoarea obtinuta este de  $1,82 \pm 0,02$ . Aceasta valoare se afla in apropierea datelor din literatura de specialitate care prezinta absorbtia hidrogenului in titan pulbere, [72]. Spectrul de difractie al pulberii de titan indica faza cristalina de tip hexagonal.

In figura 6.11 sunt prezentate izotermele presiune-compozitie, din care se observa cele doua palieri orizontale caracteristice formelor de cristalizare a titanului.

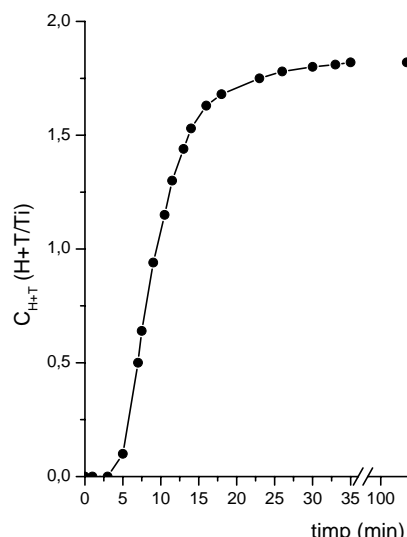


Fig. 6.8 Variatia raportului atomic  $(H+T)/Ti$  in timp la absorbtia amestecului hidrogen-tritiu in titan pulbere

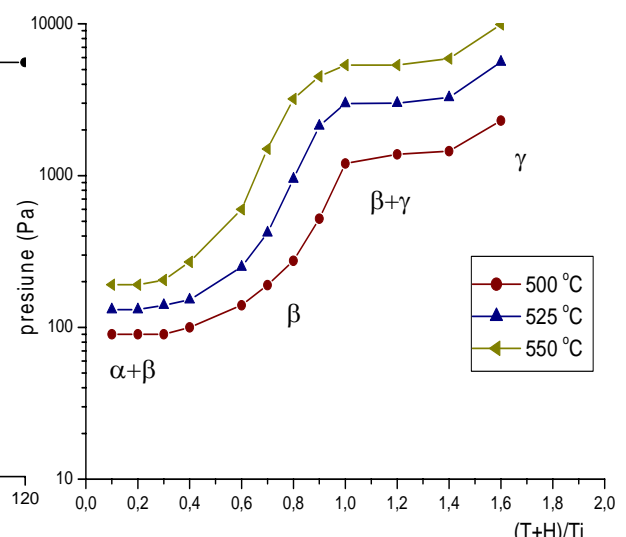


Fig. 6.11 Izotermele presiune-compozitie la absorbtia amestecului hidrogen-tritiu in titan pulbere

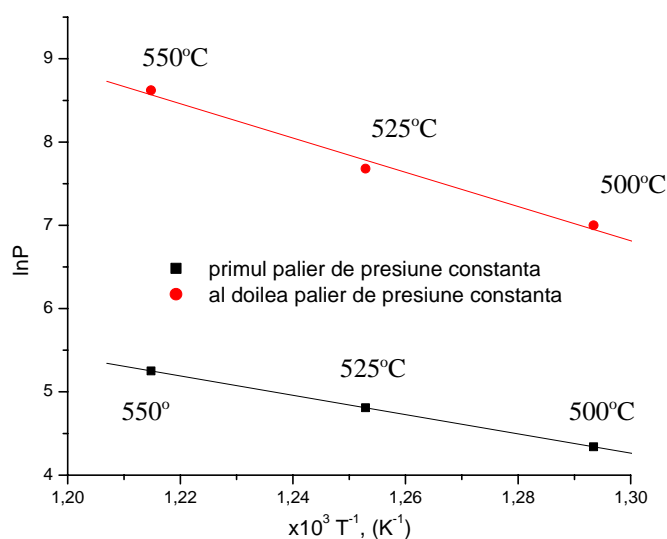


Fig. 6.12 Graficul van't Hoff pentru absorbtia amestecului hidrogen-tritiu in titan pulbere

Valorile entalpiei standard de reactie respectiv entropiei standard de reactie, calculate pe baza ecuatiei van't Hoff, sunt prezentate in tabelul 6.2.

Tabel 6.2 Parametrii termodinamici pentru absorbtia amestecului hidrogen-tritium in titan pulbere

	$\Delta H^\circ$ (kJ/mol)		$\Delta S^\circ$ (J/mol·K)		Fazele prezente in echilibru
	Date proprii	[72]	Date proprii	-	
Primul palier	- 96,3	- 99,75	- 160,6	-	$\alpha + \beta$
Al doilea palier	- 171,1	-	- 279,2	-	$\beta + \gamma$

## 6.2. Reactia dintre compusul intermetallic ZrCo si amestecul hidrogen-tritium

Probele au fost incalzite la 400°C, in vid. In figura 6.14 este prezentata evolutia raportului atomic (H+T)/ZrCo in timp, pe parcursul reactiei de absorbtie a amestecului hidrogen-tritium. Concentratia maxima obtinuta, exprimata ca raport atomic, este  $2,71 \pm 0,02$ , [120].

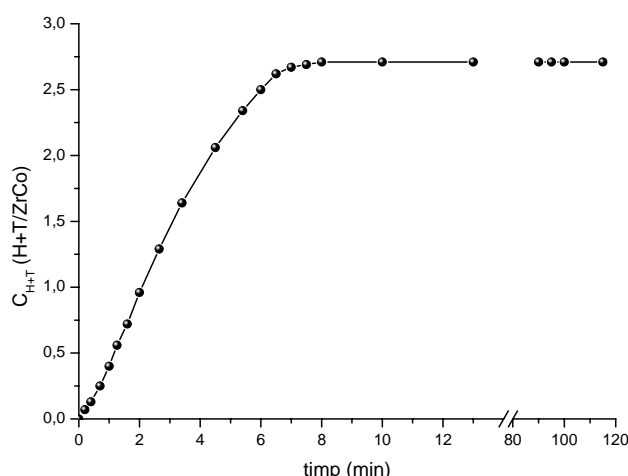


Fig.6.14 Variatia concentratiei hidrogenului in timp la absorbtia amestecului hidrogen-tritiu in ZrCo

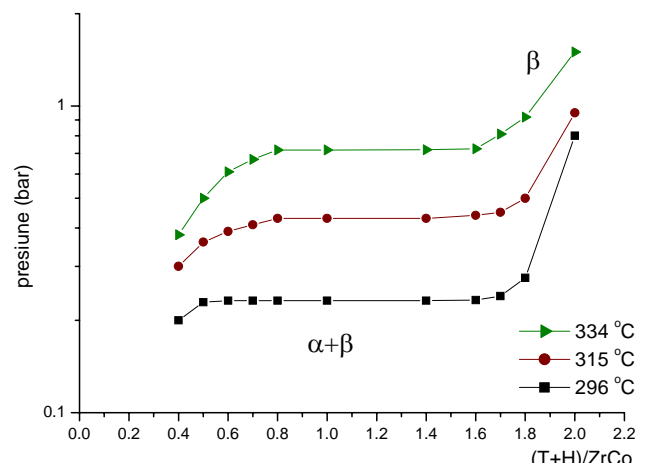


Fig. 6.17 Izotermele presiune-compozitie la absorbtia amestecului hidrogen-tritiu in ZrCo

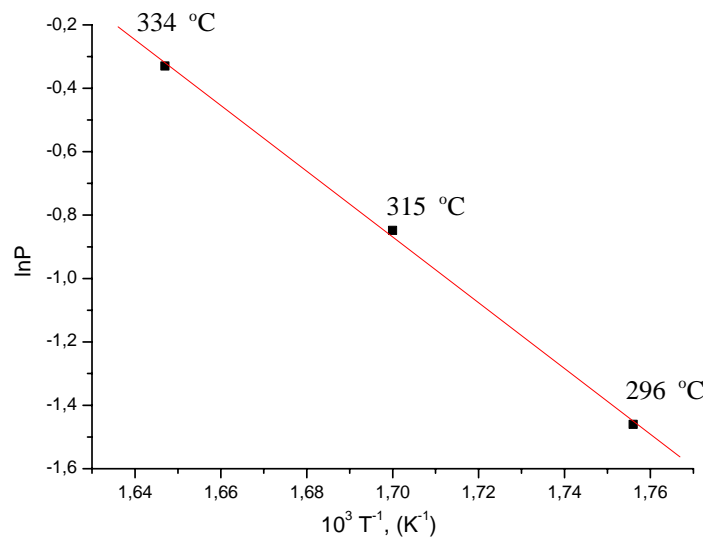


Fig. 6.18 Graficul van't Hoff pentru absorbtia amestecului hidrogen-tritiu in ZrCo

Figura 6.17 prezinta izotermele presiune-compozitie, si se observa palierul orizontal caracteristic zonei de presiune constanta a sistemului format de ZrCo si amestecul hidrogen-tritiu.

Reprezentarea grafica a logaritmului presiunii in functie de inversul temperaturii este redata in figura 6.18, [120].

Marimile termodinamice caracteristice pentru echilibru  $\alpha \rightleftharpoons \beta$ , obtinute din reprezentarea van't Hoff, sunt prezentate in tabelul 6.3, acestea incadrandu-se in domeniul prezentat in literatura, corespunzator formarii hidrurii in care raportul H/ZrCo este 1,2 [68,69].

Tabel 6.3 Parametrii termodinamici pentru absorbtia amestecului hidrogen-tritiu in ZrCo

$\Delta H^\circ$ (kJ/mol)	$\Delta S^\circ$ (J/mol·K)	Fazele prezente in echilibru		
Date proprii	[53]	Date proprii	[53]	$\alpha + \beta$
- 86,2	- 87,5	- 139,3	- 146,4	

### 6.3 Reactia dintre compusul intermetallic ZrNi si amestecul hidrogen - tritiu

#### 6.3.1 Absorbtia amestecului hidrogen - tritiu in compusul intermetalic $Zr_{50}Ni_{50}$

Figura 6.20 prezinta variatia concentratiei  $(H+T)/Zr_{50}Ni_{50}$  in timp, la absorbtia amestecului hidrogen-tritiu pe intermetalicul ZrNi. La sfarsitul reactiei, valoarea maxima a concentratiei este de  $2,61 \pm 0,03$   $(H+T)/Zr_{50}Ni_{50}$ , [120].

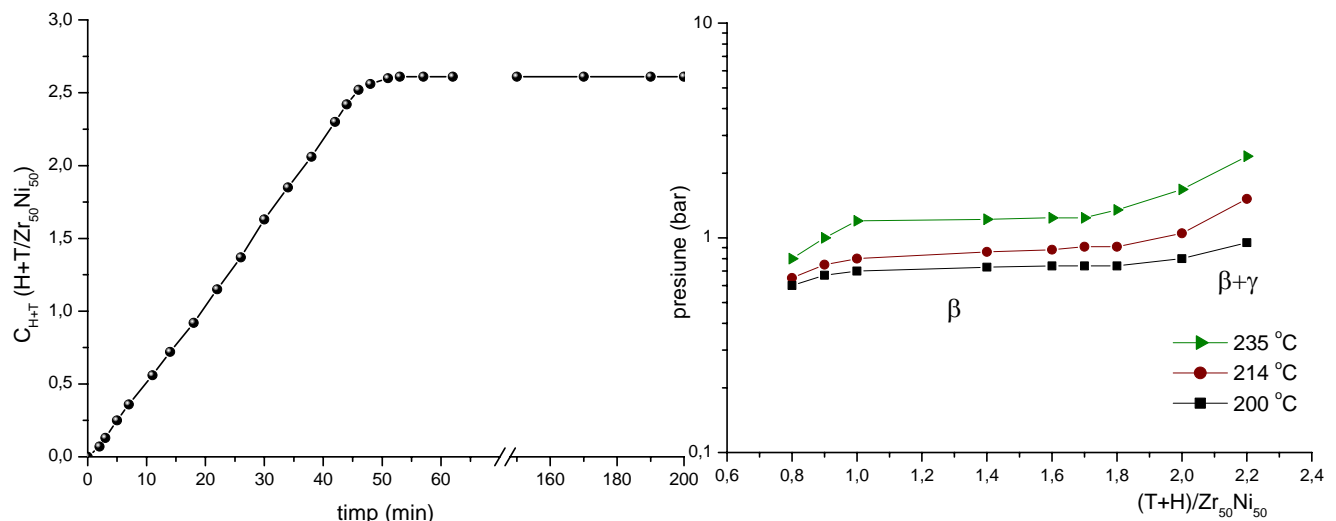


Fig.6.20 Evolutia concentratiei in timp la absorbtia amestecului hidrogen-tritiu in  $Zr_{50}Ni_{50}$

Fig. 6.23 Izotermele presiune-compozitie la absorbtia amestecului hidrogen-tritiu in  $Zr_{50}Ni_{50}$

Figura 6.23 prezinta izotermele presiune-compozitie, unde se observa palierul caracteristic zonei de presiune constanta a sistemului format de  $Zr_{50}Ni_{50}$  si amestecul hidrogen-tritiu.

Din reprezentarea grafica a logaritmului presiunii in functie de inversul temperaturii, prezentata in figura 6.24, s-au calculat entalpia respectiv entropia de reactie corespunzatoare absorbtiei amestecului hidrogen-tritiu in compusul intermetalic  $Zr_{50}Ni_{50}$ , [120,128].

Tabel 6.4 Parametrii termodinamici pentru absorbtia amestecului hidrogen-tritiu in  $Zr_{50}Ni_{50}$

$\Delta H^\circ$ (kJ/mol)	$\Delta S^\circ$ (J/mol·K)	Fazele prezente in echilibru		
Date proprii	[119]	Date proprii	-	$\beta + \gamma$
- 35,06	- 34,3	- 71,4	-	

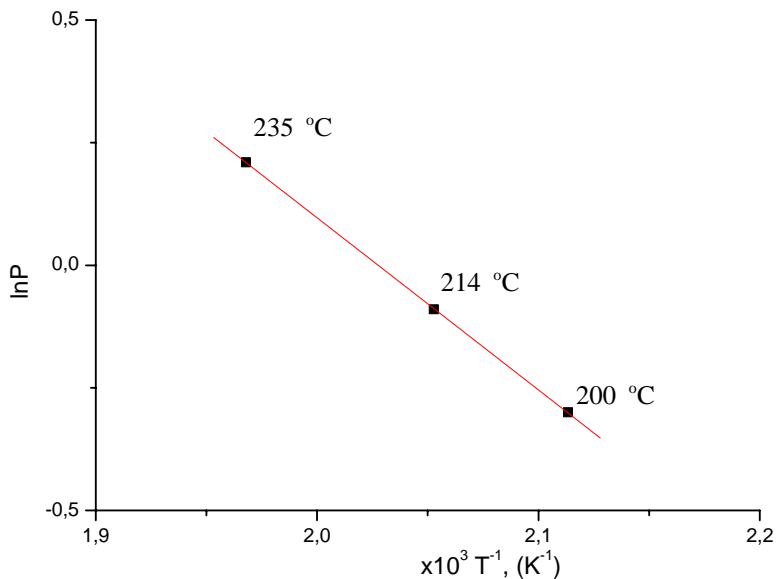


Fig. 6.24 Graficul van't Hoff pentru absorbtia amestecului hidrogen-tritiu in  $Zr_{50}Ni_{50}$

### 6.3.2 Absorbtia amestecului hidrogen - tritiu in compusul intermetallic $Zr_{70}Ni_{30}$

Pentru realizarea experimentelor la care am utilizat amestecul de tritium in hidrogen, probele metalice au fost activate timp de 3 ore prin incalzire la  $400\text{ }^{\circ}\text{C}$  sistemul fiind vidat. Dupa activare probele au fost aduse la temperatura ambianta, [128].

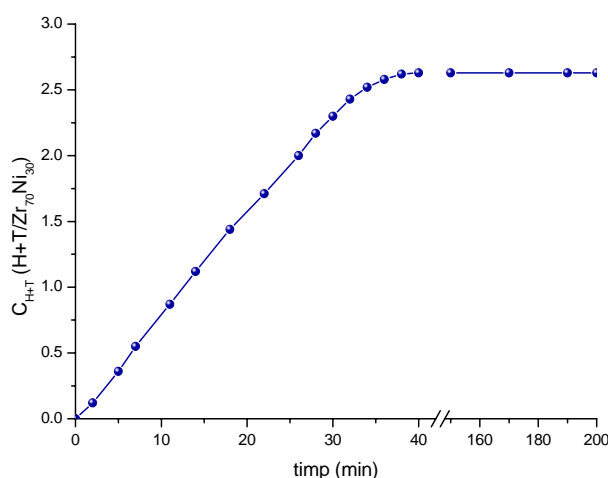


Fig.6.26 Evolutia concentratiei in timp la absorbtia amestecului hidrogen-tritiu in compusul intermetallic  $Zr_{70}Ni_{30}$

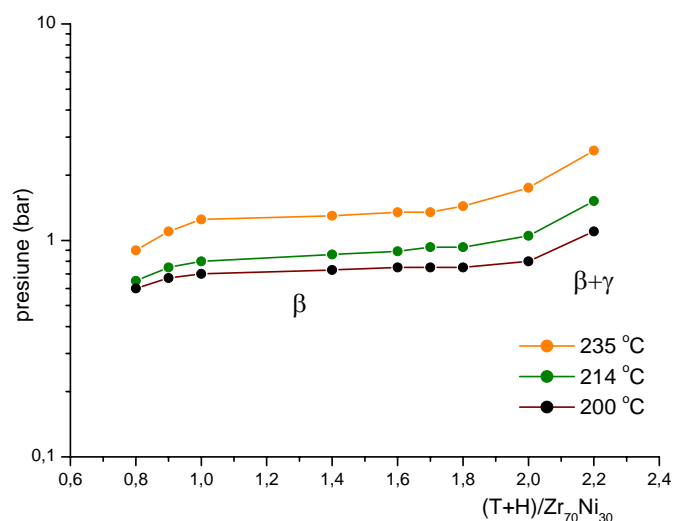


Fig. 6.29 Izotermele presiune-compozitie la absorbtia amestecului hidrogen-tritiu in  $Zr_{70}Ni_{30}$

In timpul reactiei de absorbtie a amestecului hidrogen - tritiu in compusul intermetallic  $Zr_{70}Ni_{30}$ , raportul maxim obtinut in pulberea metalica este de  $2,63 \pm 0,03$   $(H+T)/Zr_{70}Ni_{30}$ . Figura 6.26 prezinta variatia concentratiei amestecului hidrogen - tritiu la absorbtia in  $Zr_{70}Ni_{30}$ , [128].

Reprezentarea grafica a logaritmului presiunii in functie de inversul temperaturii este redată in figura 6.30. Marimile termodinamice calculate sunt prezentate in tabelul 6.5, [69].

Ca si in cazul  $Zr_{50}Ni_{50}$  valorile parametrilor termodinamici arata faptul ca amestecul hidrogen-tritii stocat in  $Zr_{70}Ni_{30}$  poate fi recuperat usor, temperatura necesara procesului de desorbtie fiind mai scazuta decat in cazul tritiurilor formate de ZrCo sau Ti.

Tabel 6.4 Parametrii termodinamici pentru absorbtia amestecului hidrogen-tritii in  $Zr_{70}Ni_{30}$

$\Delta H^\circ$ (kJ/mol)		$\Delta S^\circ$ (J/mol·K)		Fazele prezente in echilibru
Date proprii	[122]	experimental	-	
- 42,03	- 39	- 85,67	-	$\beta + \gamma$

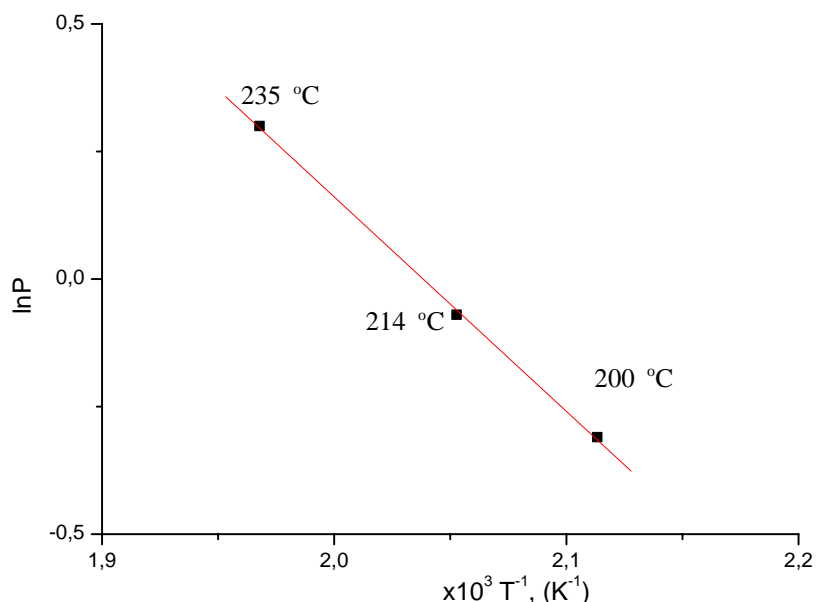


Fig. 6.30 Graficul van't Hoff pentru absorbtia amestecului hidrogen-tritii in  $Zr_{70}Ni_{30}$

## 7. CONCLUZII

Lucrarea prezinta rezultatele experimentale privind reactia dintre cateva probe metalice si de compusi intermetalici in prezenta izotopilor hidrogenului, in vederea determinarii proprietatilor de stocare pentru tritii. De asemenea se prezinta absorbtia amestecului hidrogen-tritii in aceste materiale, concentratia tritiului fiind in limita autorizatiei Institutului National de Cercetare Dezvoltare pentru Tehnologii Criogenice si Izotopice, ICSI Ramnicu Valcea. In acest scop s-a construit un stand experimental, [90] cu ajutorul caruia s-au obtinut datele necesare privind absorbtia izotopilor hidrogenului in aceste materiale.

Materialele utilizate in aceasta lucrare sunt: titanul burete, titanul pulbere si compusii intermetalici ZrCo respectiv ZrNi ( $Zr_{70}Ni_{30}$ ,  $Zr_{50}Ni_{50}$ ). Cele doua forme de titan au fost obtinute de la firmele Sigma-Aldrich (Ti burete), respectiv Merck (Ti pulbere), compusii intermetalici fiind furnizati de Institutul National de Cercetare-Dezvoltare pentru Inginerie Electrica INCDIE ICPE-CA Bucuresti.

Pentru determinarea experimentala a factorilor care influenteaza absorbtia, s-a utilizat hidrogen de la firma Messer, respectiv amestec deuteriu (5%) in hidrogen de la firma Linde.

Comparand rezultatele experimentale obtinute privind determinarea factorilor care pot influenta procesul de absorbtie a izotopilor hidrogenului in metale si aliaje metalice, concluziile sunt urmatoarele:

- ❖ Activarea probelor metalice in vid, prin utilizarea unei temperaturi de activare insuficient de mare, duce la hidrurarea incompleta a acestora. Compusii adsorbiti pe suprafata metalica nu sunt eliminati complet, impiedica disocierea moleculei hidrogen si inceperea procesului de absorbtie. Temperaturile de activare determinate experimental si utilizate pentru obtinerea unor concentratii mari de hidrogen in metal sunt urmatoarele: 600°C pentru titanul pulbere si burete, respectiv 400°C pentru compusii intermetalici ZrCo, Zr<sub>70</sub>Ni<sub>30</sub>, si Zr<sub>50</sub>Ni<sub>50</sub>, [108].
- ❖ Timpul necesar procesului de activare este diferit in functie de materialul utilizat pentru absorbtie. Daca probele sunt incalzite timp insuficient, ca si in cazul temperaturii de activare, impuritatatile adsorbite nu pot fi indepartate de pe suprafata metalica, impiedicand absorbtia hidrogenului. Astfel, titanul atat pulbere cat si burete, este suficient sa fie incalzit in vid timp de 5 ore de la atingerea temperaturii de 600°C, pentru obtinerea concentratilor maxime de hidrogen in metal, [108,109]. In cazul ZrCo, Zr<sub>70</sub>Ni<sub>30</sub>, respectiv Zr<sub>50</sub>Ni<sub>50</sub> este necesara aplicarea temperaturii de activare timp de 3 ore;
- ❖ Presiunea la care hidrogenul este introdus in contact cu materialul metalic a fost cuprinsa intre 1 si 3 bar, pentru toate materialele utilizate in aceasta lucrare, [108].
- ❖ Continutul de heliu din gazul de absorbtie influenteaza negativ reactia dintre metal si hidrogen. O concentratie mai mare de 1% heliu in hidrogen produce scaderea rapoartelor atomice obtinute astfel: in cazul titanului burete se obtine un raport atomic de 0,66±0,03 fata de raportul maxim obtinut de 1,95±0,03; pentru titanul pulbere: 0,5±0,02 fata de 1,86±0,02; pentru ZrCo: 1,93±0,02 fata de 2,78±0,02; pentru Zr<sub>50</sub>Ni<sub>50</sub>: 0,83±0,03 fata de 2,65±0,03, iar in cazul Zr<sub>70</sub>Ni<sub>30</sub> s-a obtinut 1,76±0,03 fata de 2,68±0,03. De asemenea, viteza procesului de absorbtie scade, datorita formarii anvelopei de heliu la suprafata metalica, care nu mai permite accesul hidrogenului catre reteaua metalica, [108].
- ❖ Numarul de cicluri de absorbtie/desorbtie determina micsorarea concentratiei hidrogenului retinut in titanul pulbere datorita aglomerarii pulberii. De asemenea, in cazul ZrCo, ciclurile repetate duc la micsorarea concentratiei de hidrogen retinut din cauza disproportionarii hidrurii ZrCoH<sub>3</sub>, formandu-se ZrH<sub>2</sub> care poate elibera hidrogenul doar la temperaturi ridicate. Titanul burete, si compusii intermetalici Zr<sub>50</sub>Ni<sub>50</sub> respectiv Zr<sub>70</sub>Ni<sub>30</sub> isi pastreaza capacitatea de stocare dupa 10 cicluri de absorbtie/desorbtie. In cazul compusilor intermetalici, aglomerarea pulberii nu a fost observata.

Metalul si compusii intermetalici utilizati la experimentele de absorbtie reactioneaza direct cu hidrogenul, reactiile au loc rapid, obtinandu-se concentratii ridicate de hidrogen in metal. Exceptie face titanul pulbere, care incepe reactia de hidrurare dupa 3 minute de la introducerea hidrogenului,

absorbția fiind terminata după 35 de minute. Compusii intermetalici  $Zr_{70}Ni_{30}$  și  $Zr_{50}Ni_{50}$  au nevoie de 42, respectiv 50 de minute pentru hidrurarea completa, la utilizarea ambelor tipuri de gaze. Toate materialele investigate au prezentat proprietati de bun stocator pentru hidrogen daca probele au fost activate corespunzator. Din acest motiv au fost realizate experimente cu amestec hidrogen-tritiu, concluziile obtinute fiind urmatoarele:

- ❖ În conditii asemanatoare de experimentare, cele două forme ale titanului reacționează cu hidrogenul tritiat la temperatura camerei. Concentrațiile de amestec tritiat în metal, exprimate ca rapoarte atomice, sunt  $1,88 \pm 0,03$  în cazul titanului burete, respectiv  $1,82 \pm 0,02$  în cazul titanului pulbere, rapoartele obtinute fiind situate în apropierea valorii stoichiometrice. Valorile negative ale entalpiilor de reacție demonstrează că procesul de absorbție este exoterm. La temperaturile la care s-au obtinut izotermele presiune-compoziție, valorile corespunzătoare palierelor de presiune constantă sunt mici, ceea ce conduce la concluzia că, la temperatura camerei, presiunile de echilibru sunt mult mai scazute. Rezulta astfel că tritiurile de titan obtinute sunt stabile termodinamic, pentru procesul invers fiind necesara furnizarea unei mari cantități de căldură, pentru recuperarea gazului stocat.
- ❖ La punerea în contact a compusului intermetalic ZrCo cu amestecul hidrogen-tritiu, a fost obtinuta o concentratie de  $2,71 \pm 0,02$   $(H+T)/ZrCo$ . Reacția a decurs cu degajare de căldura. S-au determinat palierele de presiune constantă cu ajutorul carora s-au obtinut parametri termodinamici. Valoarea entalpiei de reacție este de - 86,2 kJ/ mol, fiind determinata din graficul van't Hoff, [120].
- ❖ Compusul intermetalic  $Zr_{50}Ni_{50}$  reacționează, spontan cu amestecul hidrogen-tritiu, concentrația maxima în metal fiind de  $2,61 \pm 0,03$   $(H+T)/Zr_{50}Ni_{50}$ . Entalpia de reacție determinata este de -35,06 kJ/mol, [120].
- ❖ Reacția dintre amestecul hidrogen-tritiu și compusul intermetalic  $Zr_{70}Ni_{30}$  decurge similar cu reacția compusului intermetalic  $Zr_{50}Ni_{50}$ . Raportul atomic maxim obtinut după 42 de minute de la începerea reacției este de  $2,63 \pm 0,03$   $(H+T)/Zr_{70}Ni_{30}$ . Valoarea entalpiei de reacție, -42,03 kJ/mol, este mai scazuta decat in cazul  $Zr_{50}Ni_{50}$ , ceea ce semnifica faptul ca tritiura formata este mai stabila decat cea formata de  $Zr_{50}Ni_{50}$ , [128].

Materialele utilizate prezinta o buna capacitate de stocare pentru amestecul hidrogen-tritiu. Astfel, daca se doreste ca tritiul stocat sa nu mai fie recuperat in vederea utilizarii, titanul burete este materialul recomandat, datorita faptului ca temperatura necesara desorbtiei este ridicata iar presiunea de echilibru este scazute la temperatura ambienta. In cazul in care se doreste stocarea temporara a tritiului, se poate utiliza compusul intermetalic ZrCo cu mentiunea ca odata cu cresterea numarului de cicluri absorbtie/desorbtie, capacitatea de stocare scade din cauza formarii hidrurii de zirconiu. De asemenea, ZrNi ( $Zr_{50}Ni_{50}$ ,  $Zr_{70}Ni_{30}$ ) prezinta proprietati de bun stocator pentru tritium in vederea recuperarii datorita temperaturii nu foarte inalte necesara la recuperare, dar, datorita presiunii de echilibru ridicate la temperatura ambienta, este posibil sa se produca scapari, putand fi afectat personalul de operare si mediul inconjurator.

## BIBLIOGRAFIE

- [1] R.D. Penzhorn, M. Devillers, M. Sirch J. Nucl. Mat. pg. 179-181(1991)
- [2] W.J.Holtslander, J.Yaraskavitch, Report AECL-7151, Atomic Energy of Canada, Ltd. (1981)
- [3] W.J.Holtslander, J.M. Miller, Report AECL-7757, Atomic Energy of Canada, Ltd. (1982)
- [4] I.A. Aleckseev, S.P. Karpov, V.D. Trenin Fus. Technol. 28 pg. 499-504 (1995),
- [5] R.D. Penzhorn, M. Devillers, M. Sirch J. Nucl. Mat. pg. 179-181 (1991)
- [6] T.Hayashi, T.Itoh, K.Kobayashi, K.Isobe, M.Nishi, Fus. Eng. Design 81, pg. 1365-1369 (2006)
- [7] R.A Anderl, G.R. Longhurst, R.J. Pawelko, J.P Sharpe, S.T Schuetz, D.A Petti, Fus. Sci. Technol. 48 (1), pg. 243-249 (2005)
- [8] L.K Heung, L.K. Fus. Sci. Technol. 41 (3 II), pg. 753-757 (2002)
- [9] K.L Shanahan, J.S Holder, J. Alloys Comps. 446-447, pg. 670-675 (2007)
- [10] R.D. Penzhorn, M. Devillers, E. Willin, M. Sirch Fus.Technol. pg. 694-698 (1990)
- [11] B.M. Andreev, E.P. Magomedbekov, G.H. Sicking, Interaction of hydrogen isotopes with transition metals and intermetallic compounds, Springer Tracts in Modern Physics, 132, Springer, Berlin, pg 25-42 (1996)
- [12] X. Cao, G. Cheng, Fus. Sci. Technol. 48 (1), pg. 593-596 (2005)
- [13] W.M.Mueller, J.P.Blackledge, G.G.Libowitz, Metal Hydrides, Academic Press, NY and London, Ch. 11, pg. 82-112 (1968)
- [14] I.A. Aleckseev J. of App. Chem. 85, pg. 47 (1996)
- [15] R.D. Penzhorn, M. Devillers, M. Sirch J. of Nuc. Mat. 170 pg. 217- 231 (1990)
- [16] R.D Penzhorn, M. Sirch, A.N. Perevezentsev, A.N Borisenko, Fus. Technol. 28, pg. 1399-1403 (1995)
- [17] A.S. Poore, T. Hang, Fus. Sci. Technol. 54 (2), pg. 619-622 (2008)
- [18] A. Andreasen Hydrogen Storage Materials with Focus on Main Group I-II Elements, Riso National Laboratory, Ed. Roskilde, October (2005)
- [19] L. Schlapbach, A. Zuttel, Nature 414 pg. 353-358 (2001)
- [20] A. Zuttel, Materials Today, 6, pg. 24-33 (2003)
- [21] L. Schlapbach Hydrogen in Intermetallic Compounds II, 67 of Topics in Applied Physics, Ed. Springer-Verlag, pg. 11-15 (1992).
- [22] J. Bloch, J. Alloys Comps. 312 pg.135-153 (2000)
- [23] C. S. Wang, X. H. Wang, Q. Lei, P. Chen, Q. D. Wang, Int. J. Hydrogen Energy, 21 pg.471-478 (1996)
- [24] M. Martin, G. Gommel, C. Borkhardt, E. Fromm, J. Alloys Comps. 238 pg.193-201, (1996)
- [25] G. E. Fernandez, D. Rodriguez, G. Meyer, Int. J. Hydrogen Energy 23 pg.1193-1196, (1998)
- [26] A. Inomata, H. Aoki, T. Miura, J. Alloys Comps. 278, pg.103-109 (1998)
- [27] K.C.Chou, Q. Lin, L.J.Jiang, K.D.Xu, Int. J. Hydrogen Energy 30 pg. 301-309 (2005)
- [28] F.C. Tompkins Chemisorption of gases on metals Academic Press pg. 25-32 (1978)
- [29] G. Sandrock, G. Thomas, Appl. Phys. A. 72, pg. 153-155, (2001)
- [30] J.Smith, H.Van Ness, M.Abbott, Introduction to Chemical Engineering Termodynamics, McGraw-Hill, pg. 73-80 (1996)
- [31] Ch. Lexcellent, G. Gondor, Intermetallics 15, pg 934-944 (2007)
- [32] M.V. Lototsky, V.A. Yartys, V.S Marinin, J. Alloys Comps. 356-357, pg. 27-31 (2003)
- [33] M.Latroc, J. of Phys. and Chem. Solids 65 pg. 17-22 (2004);
- [34] G. Sandrock , J.Alloys Comps; 293/295 pg. 877-888 (1999)

- [35] P.Dantzer Mat. Sci. Eng. 329-31 pg. 313-320 (2002);
- [36] B. Weaver, Fus. Sci. Technol. 54 (1), pg. 89-90 (2008)
- [37] J.E. Klein, Fus. Sci. Technol. 41 (3 II), pg. 764-775 (2002)
- [38] M. Shuai, Y. Su, Z. Wang, P. Zhao, J. Zou, S. Wu, J. Nuc. Mat. 301 (2-3), pg. 203-209 (2002)
- [39] S.O'Hira, T. Yamanishi, T Hayashi, J. Nuc. Sci. Technol. 43 (4), pg. 354-360 (2006)
- [40] E. Johansson Synthesys and characterization of potential hydrogen storage materials, Acta Universitatis Upsaliensis, Upsala pg. 33-37 (2004)
- [41] S. Bouaricha, J.P. Dodelet, D. Guay, J. Huot, S. Boily, R. Schulz, J. Alloys Comps. 297 pg. 282–293 (2000)
- [42] A. Fosdal, H.W. Brinks, M. Fichtner, B.C. Hauback, J. Alloys Comps. 387 pg. 47–51 (2005).
- [43] J. Hauck , J. of the Less-Com.Met. pg. 111-116 (1984)
- [44] J.D Baker, D.H.Meikrantz, D.G Tugle United states patent nr 5.669.961 (1997)
- [45] A. Andreasen, T. Vegge, A.S. Pedersen J. Phys. Chem. B, 109, 3340-3344 (2005)
- [46] M.Dornheim, T.Klassen, J.Alloys Compd. 315, (2001)
- [47] M.Sato, H.Uchida, M.Stange, V.A.Yartys, S.Kato, Y.Ishibashi, M.Terashima, R.Yamakawa, H. H. Uchida J. Alloys Comps. 402 (2005) 219-223
- [48] S.J.C Irvine, I.R. Harris. J. Less-Com. Met., 74, pg. 33-38 (1980)
- [49] M. Devillers, M. Sirch and R.D. Penzhorn J. of Nuc. Mat. 207, pg. 53 – 61 (1993)
- [50] U. Besserer, J. Dehne, L. Dorr, M. Glugla, W. Hellriegel, T. Le, F. Schmitt, K.H. Simon, T. Vollmer, J. Wendel, R.D. Penzhorn Fus.Technol. 29, pg. 1261-1263 (1996)
- [51] R. D. Buley, D.J. Green, Fus. Technol., 28, pg 1112-1115 (1995)
- [52] L. K. Heung, Fus. Technol.. 28, pg 1385 (1995)
- [53] M. Devillers, M. Sirch, S. Bredendiek-Kamper, R.D. Penzhorn Chem. Mater. 2, pg. 255-262 (1990)
- [54] P. Dantzer, P. Millet Rev. Sci.Instr. 71, pg.142-150 (2000)
- [55] S.H.Lee, H.Chung J.Ind.Eng.Chem, 6 pg 380-384 (2000)
- [56] W.T. Shimayda, A.G. Heics and N.P. Kherany J. Less-Com. Met. 62 pg. 117- 127 (1990)
- [57] B. Limacher, D. Leroy, C. Arnoux, F. Gaspard, J. Alloys Comps. 231 (1-2), pg. 792-797 (1995)
- [58] N. Bekris, U. Besserer, M. Sirch, R.D. Penzhorn, Fus. Eng. Design 49-50, pg. 781-789 (2000)
- [59] T. Nagasaki, S. Konishi, H. Katsuta and Y. Naruse, Fus. Technol, 9, pg. 506-509 (1986)
- [60] M. Hara, Y. Hatano, T. Abe, K. Watanabe, T. Naitoh, S. Ikeno, Y. Honda, J. Nucl. Mater. 320, pg. 265–271(2003)
- [61] A. Zuttel, P. Sudan, P. Mauron, P. Wenger, Appl. Phys. A, 78 pg. 941 (2004)
- [62] B. Panella, M. Hirscher, H. Putter, U. Muller, Adv. Funct. Mat. 16 pg. 204 (2006)
- [62] J.L.C. Rowsell, A.R. Millward, K.S. Park, O.M. Yaghi, J. Am. Chem. Soc.126 pg. 223-225 (2004)
- [64] S. Ishiyama, M.Eto, N.Miya J.Nucl.Sci. Tech, 37, pg.144 (2000)
- [65] X. Cao, B.Yang, H.Tan, J.Wan, Fus. Sci. Technol. 41 pg. 892-897 (2002)
- [66] D.F Cowgill Fus. Sci. Technol. 48 (1), pg. 539-544 (2005)
- [67] G.R. Longhurst Fus.Technol. 14 pg. 750-755 (1988)
- [68] S. Fukada, N.Mitsuishi J.Nuc.Sci.and Technol. 30 (9), pg 955-958
- [69] H.J. Ache, M. Glugla, E. Hutter, G. Jourdan, R.D. Penzhorn, D. Rohrig, K. Schubert, H. Sebening, J.E. Vetter Fus.Eng. Design 12, pg. 331 (1990).
- [70] R.T. Walters, J. Less-Com. Met., 157, pg. 97(1990).
- [71] L. Palcsu, M. Molnar, Z. Szanta, E. Svingor, I. Futo, Fus. Sci. Technol. 41 (3 II), pg. 532-535 (2002)
- [72] R. Li, Y. Sun, Y. Wei, W. Guo, Fus. Eng. Design 81 A, pg. 859-862 (2006)

- [73] I. Moysan, S. Contreras, J. Demoment, Fus. Sci. Technol. 54 (1), pg. 81-84 (2008)
- [74] R.G. Spulak, J. Less-Com. Met. 132 (2), pg. 17-20 (1987)
- [75] A.B Antoniazzi, C.S. Morton, K.P. Chen, B. Liu, Fus. Sci. Technol. 54 (2), pg. 635-638 (2008)
- [76] M. Shim, H. Chung, K. Kim, H. Yoshida, S. Cho, D. Kim, M. Ahn, Fus. Eng. Design 83, pg. 1433-1437 (2008)
- [77] A.N. Perevezentsev, A.C. Bell, J. Williams, P.D Brennan., Fus. Eng. Design 83 (10-12), pg. 1364-1367 (2008)
- [78] S. Beloglazov, M. Glugla, E. Fanganel, A.N Perevezentsev, R. Wagner, Fus. Sci. Technol. 54 (1), pg. 22-26 (2008)
- [79] T. Hayashi, T. Suzuki, W.M. Shu, T. Yamanishi, Fus. Sci. Technol. 52 (3), pg. 706-710 (2007)
- [80] W.T. Shmayda, P. Mayer J. Less-Com. Met., 104, pg. 239 (1984).
- [81] H. Chung, M. Shim, D.H. Ahn, M. Lee, C. Hong, H. Yoshida, K.M, Song, S. Cho Fus. Sci. Technol. 54 (1), pg. 18-21 (2008)
- [82] S. Paek, D. Ahn, K.Kim, H.Chung, J. Ind.Eng.Chem., Vol.8, No.1, pg.334-337 (2002)
- [83] A.B Antoniazzi, C.S. Morton, Fus. Sci. Technol. 54 (1), pg. 219-222 (2008)
- [84] I. Aoki, S. Konishi, R. Kurihara, Y. Iwai, M. Nishi, Fus.Sci. Technol. 41 (3 II), pg. 835-839 (2002)
- [85] G.R.Longhurst, R.A Anderl, R.J Pawelko, C.J Stoots, Fus. Sci. Technol. 48 (1), pg. 332-336 (2005)
- [86] S. Paek, D.H Ahn, K.R. Kim, H. Chung, S.P. Yim, M. Lee, Fus. Sci. Technol.48 (1), pg. 75-78 (2005)
- [87] C.J.Caldwell-Nichols, S.Gross, R.D.Penzhorn, M.Glugla, R.Lasser, K.H Simon, T.L. Le, Fus.Sci.Technol. 41 (3 II), pg. 617-620 (2002)
- [88] **F.Vasut**, I.Cristescu, I.Cristescu, S.Brad Studiu comparativ al performantelor stocarii tritiului pe uraniu si hidruri metalice, NUC - INFO 2000, Baița – Hunedoara (2000)
- [89] **F.Vasut**, I.Cristescu, I.Cristescu, S.Brad Studies of adsorption methods for hydrogen isotopes in zeolitic sieves, Procese izotopice si moleculare, Cluj-Napoca (2001)
- [90] **F.Vasut**, M.Zamfirache, C.Pearsica, N.Bidica, Experimental study about hydrogen isotopes storage on titanium bed Fus.Eng.Design. 69 pg. 87-90 (2003)
- [91] **F.Vasut**, M.Zamfirache, Dispozitive de stocare a izotopilor hidrogenului pe metale si compusi intermetalici Sesiunea Stiintifica MENER 2002 Bucuresti (2002)
- [92] **F.Vasut**, M.Zamfirache, N.Sofalca, C.Pearsica System for hydrogen isotope storage and transportation with high level protection and safety of environment, NUCLEAR ANALYTICAL METHODS IN THE LIFE SCIENCES Including Complementary Isotopic Techniques and Applications, Antalya, Turkey (2002)
- [93] L.K.Heung WSRC-TR-94-0596, Savannah River Company (1994)
- [94] T.Hayashi, T.Suzuki, M.Yamada, W.Shu, T.Yamanishi Fus. Eng. Design 83 (10-12), pg. 1429-1432 (2008)
- [95] H.Yoshida, D. Murdoch, M. Nishi, V. Tebus, S. Willms Fus. Eng. Design 55 (2-3), pg. 313-323 (2001)
- [96] M. Devillers, M.Sirch, R.D. Penzhorn, Chem. matt. 4, pg. 631-639 (1992)
- [97] N.Bidica, **F.Vasut**, I.Stefanescu, I.Cristescu, A.Bornea, M.Zamfirache, A.Lazar, C.Pearsica, I.Stefan, I. Prisecaru, G. Sindilar Accounting Strategy of Tritium Inventory in the Heavy Water Detritiation Pilot Plant from ICIT Rm. Valcea Fus. Sci. Technol., 54, pg. 346-349, (2008)
- [98] I. Aoki, S. Konishi, R. Kurihara, Y. Iwai, M. Nishi, Fus. Sci. Technol. 41 (3 II), pg. 835-839 (2002)
- [99] P.E De Miranda, G. Duarte, G., L.A.C Bustamante, Metalurgia Mater. 64 (590), pg. 346-348 (2008).
- [100] M. Schulke, H. Paulus, M. Lammers, G. Kiss, K.H. Muller. Anal. Bioanal. Chem. 390 (6), pg. 1495-1505 (2008).
- [101] S. Challet, M. Latroche, F. Heurtaux, Mat. Sci. Technol 3, pg. 13-21 (2005)
- [102] O.Bernauer, Int. J. Hydrogen Energ. 13 (3), pg. 181-190 (1988)

- [103] S. Hong, C.L.Fu Phys.Rev. B 66 (2002) pg. 0941091-6
- [104] Titanium design and fabrication handbook for industrial applications, Titanium Metals Corporation (1997)
- [105] Titanium, Microsoft Encarta, [http://encarta.msn.com/encyclopedia\\_761569280/Titanium.html](http://encarta.msn.com/encyclopedia_761569280/Titanium.html) (2005)
- [106] R.S.Vennila, A. Durygin, M. Merlini, Z. Wang, S.K. Saxena Int. J. Hydrot. Energ. 33 (22), pg. 6667-6671 (2008)
- [107] Safety data sheet Ti sponge Sigma-Aldrich
- [108] **F.Vasut**, A.Preda, I.Stefanescu, M.Zamfirache, C.David Sorption of hydrogen on sponge titanium; parameters influencing the process lucrare acceptata spre publicare in revista Asian J. of Chem. vol.22 (6), pg. 4271-4274 (2010)
- [109] **F.Vasut**, I.Stefanescu, N. Bidica, A. Bornea, A. Preda, M. Zamfirache, C. Ducu Study about sorption in sponge and powder titanium of hydrogen isotopes obtained from a cryogenic distillation process Ren. Energ. 33 pg. 216-220 (2008)
- [110] **F.Vasut**, A. Preda, M. Zamfirache , C. Ducu, V. Malinovschi Study about hydrogen sorption in titanium “1<sup>st</sup> South East European Congress of Chemical Engineering”, Belgrad – Serbia si Muntenegru 2005
- [111] **F.Vasut**, I.Stefanescu, N.Bidica, A.Preda, C. Pearsica (David) Storage of hydrogen isotopes on metallic titanium, Nuclear Energy for New Europe, Portoroz, Slovenia, 2008
- [112] Safety data sheet Ti powder, Merck
- [113] **F.Vasut**, A . Preda M. Zamfirache , C. Ducu, V. Malinovschi, Comparative study about hydrogen sorption in sponge and powder titanium Studia Universitatis Babes-Bolyai, PHYSICA, L,4b, pages 365-368 (2005)
- [114] J.G. Dillard, H. Glasbrenner, G. Pfennig, H. Klewe-Nebenius, H.J. Ache, J. Less-Comm. Met. 166 (2), pg. 233-239 (1990)
- [115] K. Watanabe, M. Hara, M. Matsuyama, K. Kanesaka, I. Kabutomori, Fus.Technol. 28, pg. 1437-1442 (1995)
- [116] S. Konishi, T. Nagasaki and K. Okuno J.of Nuc. Mat. 223 pg 294-299, (1995)
- [117] M. Devillers, M.Sirch, R.D. Penzhorn, J.of Nuc. Mat. 207 pg. 53-61 (1993)
- [118] Y. Naik, G.A Rama Rao, V. Venugopal, Intermetallics 9 (4), pg. 309-312 (2001)
- [119] P. Dantzer, P. Millet, T.B. Flanagan, Metalurgical Mat. Tran. 32A, pg. 29 (2001)
- [120] **F.Vasut**, P. Anisoara, I. Stefanescu, C. David Storage of hydrogen isotopes on ZrCo and ZrNi intermetallic compounds; comparative study lucrare acceptata spre publicare in revista Asian J. of Chem. vol.22 (6) pg. 4291-4294 (2010)
- [121] W. Luo, A. Craft, T. Kuji, H.S. Chung, T.B. Flanagan, J.Less-Comm. Met. 162 (2), pg. 251-266 (1990)
- [122] D. Escobar, S. Srinivasan , Y. Goswami, E. Stefanakos J. Alloys Comps. 458 pg. 223–230 (2008)
- [123] R.C.Bowman, R.H. Steinmeyer, L.K. Matson, A. Attalla, B.D. Craft, Fus. Technol. 8, pg. 2337-2343 (1982)
- [124] Autorizatia 01/2006 pentru desfasurarea de activitati in domeniul nuclear, emisa de Comisia Nationala pentru Controlul Activitatilor Nucleare
- [125] C. Ducu, V. Malinovschi, I. Iosub, Rev. Chimie, 54, 7, pg. 665-669, (2003)
- [126] Z. A. Matysina and D. V. Shchur Phys. J., 44 (11), (2001)
- [127] G. Huang, X.H. Cao, X.G. Long, B.F. Yang, W. K. Liu, J. Fus. Energy, 26 (3), pg. 307-312, (2007)
- [128] **F.Vasut**, A. Preda, M. Zamfirache, C. David Sorption of hydrogen isotopes on ZrNi, Progrese in Criogenie si Separarea Izotopilor, Rm. Valcea (2009)